

## **BAB 6**

### **KESIMPULAN DAN SARAN**

#### **6.1. Kesimpulan**

Kesimpulan yang didapatkan oleh peneliti dalam penelitian ini adalah sebagai berikut:

- a. Diperoleh 2 unit *Grip* untuk *Shaft* bagian atas dan *Shaft* bagian bawah sebagai alat bantu untuk pengujian tarik di mesin uji tarik Lab. Pengetahuan Bahan FTI UAJY.
- b. Hasil uji performansi menunjukkan bahwa *Grip* yang dibuat telah mampu membantu proses pengujian tarik pada mesin uji tarik untuk pengujian spesimen *Eva Rubber* dengan kekerasan 30-40 dan mengetahui tegangan maksimal adalah  $12,9428 \text{ N/cm}^2$ , lalu gaya tarik maksimal adalah 26 Kgf.

#### **6.2. Saran**

Desain rancangan *Grip* ini mampu melakukan uji tarik pada spesimen *Rubber*, berikut adalah saran dari penulis setelah melakukan penelitian ini:

- a. *Grip* dapat mencengkam dengan baik spesimen rubber dengan dimensi sesuai ASTM, namun perlu adanya penelitian lebih lanjut untuk mengetahui apakah spesimen selain *Rubber* dapat diuji menggunakan *Grip* ini dan mesin uji tarik di lab. Pengetahuan bahan.
- b. Pada saat pengencangan cekam grip, tingkat kekencangan diusahakan jangan terlalu kuat ataupun terlalu lemah, hal ini disebabkan tools yang belum tersedia fitur parameter kekuatan cengkram pada spesimen.

## DAFTAR PUSTAKA

- Almaziid, 2014, Skripsi Perancangan *Angle Grinding Jig* untuk Membantu Proses Proses Perbaikan *Wedge Block Mold* di Mesin *Surface Grinding*.
- Anggoro,P.W.; Bawono,B.; Jamari; Bayuseno,A.P.; “ Analisis variasi strategi pemesinan CAM terhadap Kekasaran Permukaan Sol Sepatu Orthotic Berbahan Eva Rubber” ; makalah seminar ICAMST; 2015
- Bawono, B.; Anggoror, P.W., Jamari, J., Bayuseno, A.P., 2015, “Pengaruh Variasi Kekerasan, Kekasaran Permukaan, dan Tebal Lapisan Material Insole Sepatu *Orthotic* terhadap Tingkat Kenyamanan Optimal.”
- Cross, Nigel, 2001, *Engineering Design Methods, Third Edition*, John Wiley & Sons, Inc., Hoboken, New Jersey.
- Dassault Systèmes SolidWorks Corporation, 2010, *An Introduction to Stress Analysis Applications with SolidWorks Simulation*, Student Guide, Dassault Systèmes SolidWorks Corporation, Concord, Massachusetts.
- Cahyo, Feri Dwi, 2014, Pengaruh *Wide Angle* pada *Blade Indenter* terhadap Hasil Pembebanan Dalam Pengujian Tekan Material *Hyperelastic* dengan Menggunakan Metode Elemen Hingga
- Hoffman, Edwad G., 1991, *Jig and Fixture Design, Fifth Edition*, Delmar Publishers, Clifton Park, New York.
- Davis, Joseph R., 2004, Tensile Testing 2<sup>nd</sup> Edition, ASM International, USA.
- Mikell P. Groover, 1996, *Fundamental of Modern Manufacturing, Fourth Edition*, John Wiley & Sons Inc., Hobokn, New Jersey.
- Pranoto, 2010, Jurnal Perancangan dan Pengembangan (Modifikasi) *Jig and Fixture* untuk Pahat Gurdi pada Cutter Grinding CG-7.
- Rochim, Taufiq, 2001, Spesifikasi Geometris Metrologi Industri dan Kontrol Kualitas, Laboratorium Teknik Produksi dan Metrologi ITB, Bandung.
- Saptono, 2010, Jurnal Perancangan dan Pembuatan *Jig Clamping* untuk Meningkatkan Efisiensi Proses Permesinan.

- Saputra, 2008, Penelitian Pemanfaatan *Jig* untuk Menurunkan Waktu Siklus di *Line Painting* pada Proses *Paint Booth Hub Front Brake* di PT Pakoakuina.
- Sularso dan Suga, Kiyokatsu, 1991, Dasar Perancangan & Pemilihan Elemen Mesin, Edisi 7, PT Pradnya Paramita, Jakarta.
- Suroto, A., 2010, *Strength of Materials*, Percetakan Atmi Press, Surakarta.
- Suseno, 2013, Skripsi Perancangan Alat Bantu Penyimpanan Material *Automatic Beam Cabinet*.
- Teeputra, Slamet, 2015, Skripsi Perancangan Alat Bantu *Spindle Extention* untuk Penggeraan *Groove Cutter* di Mesin Gerinda Pei Ping.
- Ulrich, Karl T., dan Eppinger, Steven D., 2001, Perancangan & Pengembangan Produk (terjemahan Azmi, N., dan Marie, I.A.), Jilid I, Edisi 1, Salemba Teknika, Jakarta.
- Zang, S. (2004). *Tribology Of Elastomers*. University of Petroleum. Beijing. China

## LAMPIRAN

Lampiran 1 Hasil Analisi Ujung *Shaft* dengan *Inventor 3D*

**Stress Analysis Report**

Analyzed File: Assembly shaft atas.iaw  
Autodesk Inventor Version: 2012 (Build 160160000, 160)  
Creation Date: 06/10/2015, 23:05  
Simulation Author: Patris#42  
Summary:

**Project Info (Properties)**

- Summary**  
Author: Patris#42
- Project**  
Designer: Patris#42  
Cost: Rp0  
Date Created: 06/10/2015
- Status**  
Design Status: WorkInProgress
- Custom**  
Translation Standard: STEP AP214IS  
FileName: D:\DEDY\Assembly shaft atas.stp  
PreProcessor: Autodesk Inventor 2010  
PostProcessor: Build: 160, Release: 2012 RTM - Date: Tue 03/01/2011

**Physical**

Mass	0,397338 kg
Area	111873 mm <sup>2</sup>
Volume	302900 mm <sup>3</sup>
Center of Gravity	x=29,0134 mm y=41,1924 mm z=0,0000 mm

Note: Physical values could be different from Physical values used by FEA reported below.

**Simulation:1**

**General objective and settings:**

Design Objective	Single Point
Simulation Type	Static Analysis
Last Modification Date	06/10/2015, 23:04
Detect and Eliminate Rigid Body Modes	No
Separate Stresses Across Contact Surfaces	No
Motion Loads Analysis	No

**Advanced settings:**

Avg. Element Size (fraction of model diameter)	0,1
Min. Element Size (fraction of avg. size)	0,2
Gravity Factor	1,5
Max. Turn Angle	60 deg
Create Curved Mesh Elements	No
Use part based measure for Assembly mesh	Yes

**Material(s)**

Name	Steel, Mild
Mass Density	7,86 g/cm <sup>3</sup>

**Part Properties**

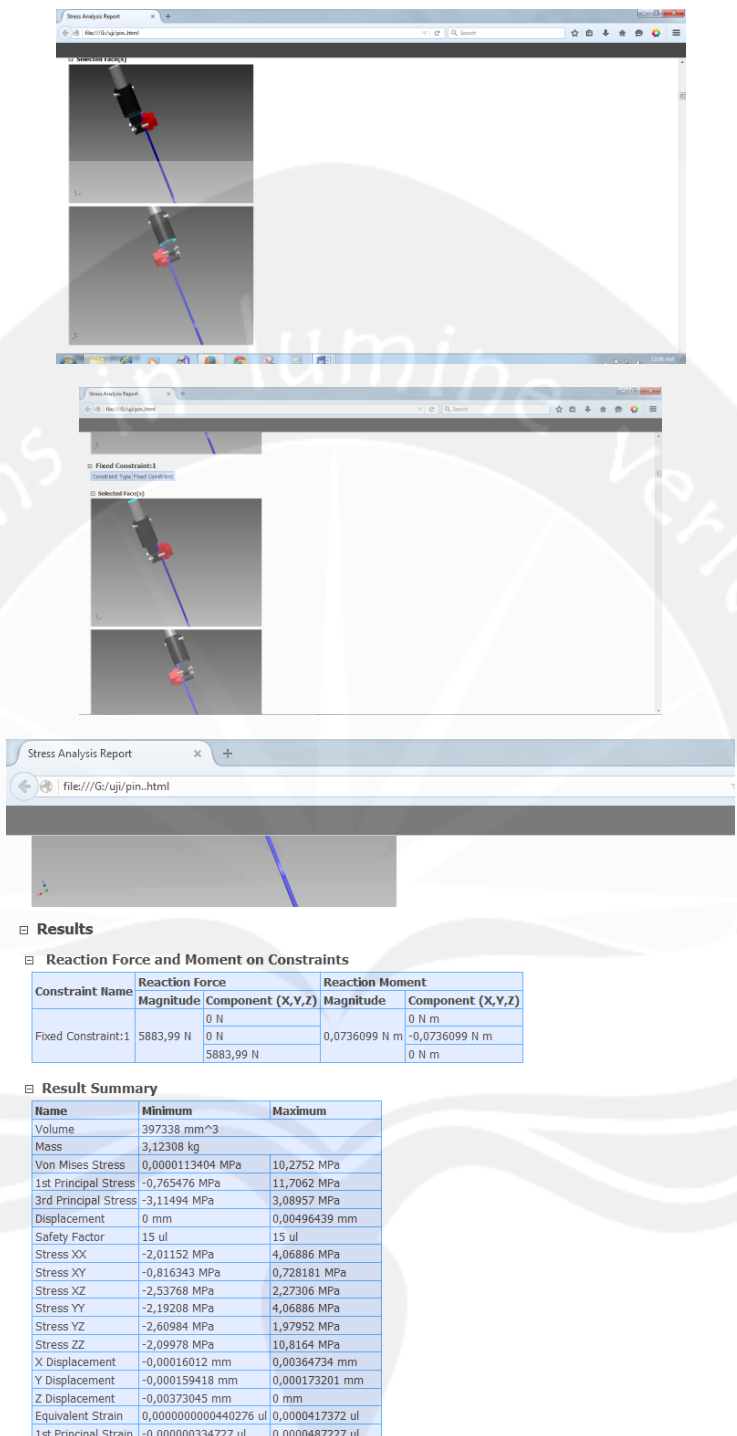
Name	Steel, Mild
Mass Density	7,86 g/cm <sup>3</sup>
Length	260 mm
Ultimate Tensile Strength	345 MPa
Young's Modulus	220 GPa
Poisson's Ratio	0,2753
Shear Modulus	0 GPa
Expansion Coefficient	0,000012 1/K
Thermal Conductivity	56 W/(m K)
Specific Heat	449,3 J/kg K

**Operating conditions**

**Force1**

Load Type	Force
Magnitude	1.000,990 N
Vector X	0,000 N
Vector Y	0,000 N
Vector Z	-1.000,990 N

**Selected Face(s)**



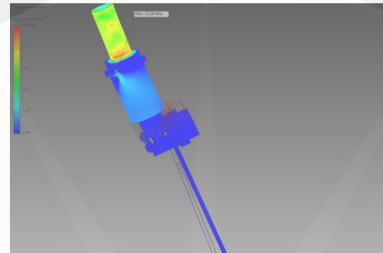
Stress Analysis Report

file:///G:/ujl/pin..html

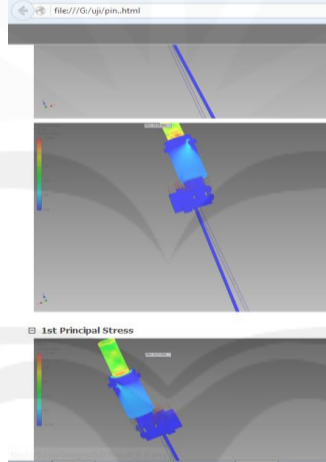
X Displacement	-0,00016012 mm	0,00364734 mm
Y Displacement	-0,000159418 mm	0,000173201 mm
Z Displacement	-0,00373045 mm	0 mm
Equivalent Strain	0,0000000000440276 ul	0,0000417372 ul
1st Principal Strain	-0,000000334727 ul	0,0000487227 ul
3rd Principal Strain	-0,0000139098 ul	0,0000000519159 ul
Strain XX	-0,0000116761 ul	0,00000429368 ul
Strain XY	-0,00000473108 ul	0,00000422014 ul
Strain XZ	-0,000014707 ul	0,0000131734 ul
Strain YY	-0,0000125321 ul	0,00000353948 ul
Strain YZ	-0,0000151252 ul	0,0000114722 ul
Strain ZZ	-0,00000745075 ul	0,0000454424 ul
Contact Pressure	0 MPa	13,6971 MPa
Contact Pressure X	-4,27218 MPa	4,01589 MPa
Contact Pressure Y	-7,02055 MPa	6,66365 MPa
Contact Pressure Z	-11,4151 MPa	8,51854 MPa

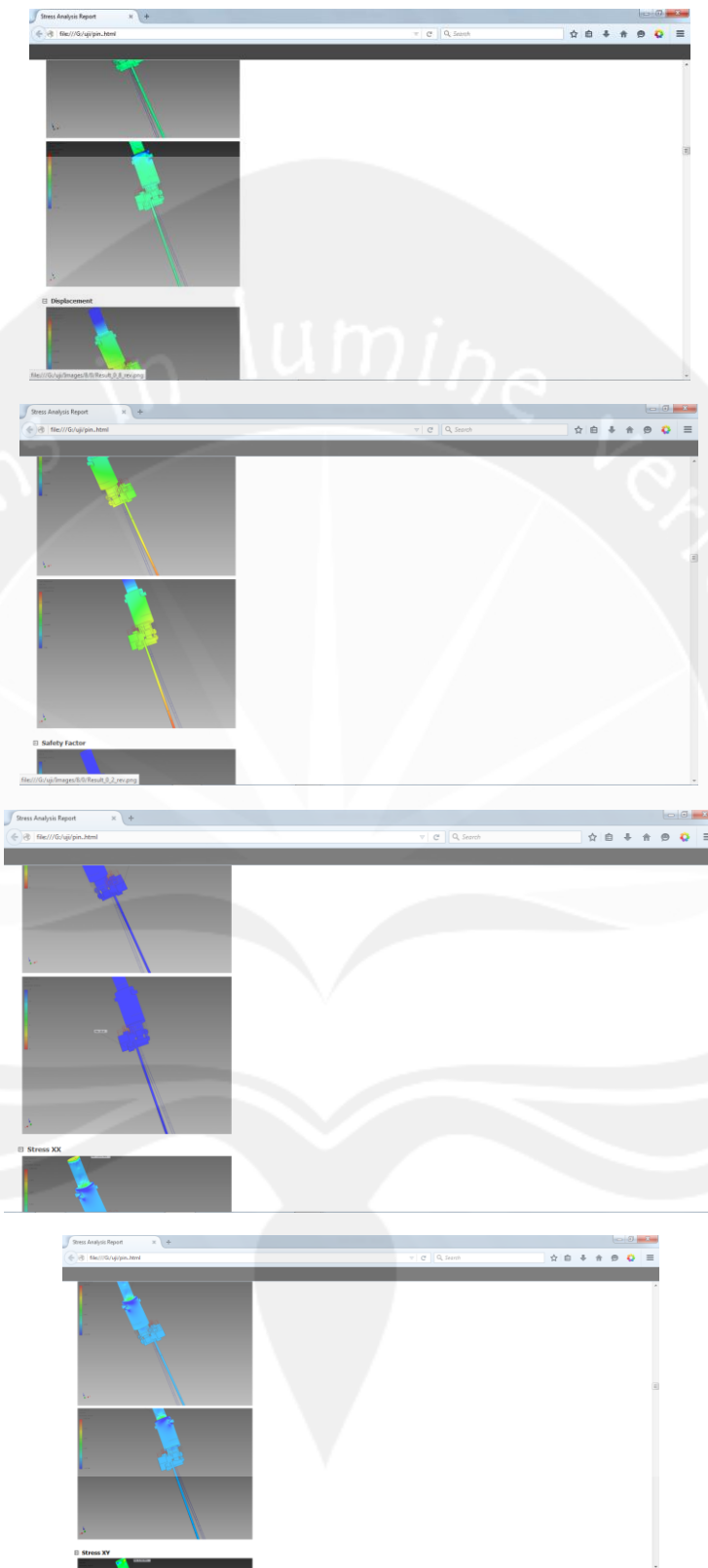
#### Figures

##### Von Mises Stress



##### 1st Principal Stress





## Lampiran 2 Hasil Analisis Grip dengan Inventor 3D

**Autodesk®**

Analyzed File: Assembly shaft.stasm Autodesk Inventor Version: 2012 (Build 100160000, 140) Creation Date: 06/10/2015, 23:01 Simulation Author: Patrik2 Summary:

**Project Info (Properties)**

- Summary**  
Author: Patrik2
- Project**  
Designer: Patrik2  
Code: 4918  
Date Created: 06/10/2015
- Status**  
Design Status: WorkInProgress
- Custom**  
Translation Standard: STEP AP21415  
File Name: D:\DESY\Assembly shaft.stasm.stp  
PreProcessor: Autodesk Inventor 2010  
PostProcessor: Build 140, Release: 2012 RTM - Date: Tue 03/01/2011  
Sent Units: millimeter  
Uncertainty: 0,01

Note: Physical values could be different from Physical values used by FEA reported below.

**Physical**

Mass	0,397338 kg
Area	1110973 mm <sup>2</sup>
Volume	337711 mm <sup>3</sup>
Center of Gravity	=29,0134 mm =14,9445 mm =14,3456 mm

Advanced settings:  
Avg. Element Size (fraction of model diameter): 0,1  
Min. Element Size (fraction of avg. size): 0,2

**Simulation:**

General objective and settings:  
Design Objective: Single Point  
Simulation Type: Static Analysis  
Last Modification Date: 06/10/2015, 23:01  
Delta T (for Implicit Rigid Body Method): No  
Separate Stresses Across Contact Surfaces: No  
Motion Loads Analysis: No

Advanced settings:  
Avg. Element Size (fraction of model diameter): 0,1  
Min. Element Size (fraction of avg. size): 0,2

**Material(s)**

Name	Steel, Mild
General	Yield Strength: 207 MPa Ultimate Tensile Strength: 343 MPa Young's Modulus: 230 GPa
Stress	Stress Relaxation: 0,020% a Shear Modulus: 0 GPa Expansion Coefficient: 0,000012 1/K
Stress Thermal	Thermal Conductivity: 56 W/m K Thermal Diffusivity: 460 J/(kg K)

Part Name(s):  
Part1  
Part1\_part32  
Part1\_1  
Part1\_2  
Part2\_bolts  
Part2\_bolts  
Part3\_M3  
selfcut\_M3  
selfcut\_M3  
spur\_grip  
spur\_grip  
Part3D  
Part3D

**Orientation conditions:**

